



دانشگاه صنعتی امیرکبیر
(پلی تکنیک تهران)

دوره چهل و پنجم، شماره ۲، زمستان ۱۳۹۲، صفحه ۶۵ تا ۷۲
Vol. 45, No. 2, winter 2013, pp. 65-72



نشریه علمی - پژوهشی امیرکبیر (مهندسی عمران و محیط زیست)
Amirkabir Journal of Science & Research (Civil & Environmental Engineering)
(AJSR - CEE)

بررسی آزمایشگاهی ناپایداری شیب‌های ماسه‌ای غیر متراکم در اثر بالا آمدن سطح آب

وحید معصومی فرد^۱، سید محمد رضا امام^{*۲}، روزبه رسولی^۳

- ۱- دانشجوی کارشناسی ارشد، دانشکده مهندسی عمران و محیط زیست، دانشگاه صنعتی امیرکبیر
- ۲- استادیار، دانشکده مهندسی عمران و محیط زیست، دانشگاه صنعتی امیرکبیر
- ۳- دانشجوی کارشناسی ارشد، دانشکده مهندسی عمران و محیط زیست، دانشگاه صنعتی امیرکبیر

(دریافت ۱۳۸۸/۱۱/۱۷، پذیرش ۱۳۹۲/۱/۱۸)

چکیده

افزایش فشار آب حفره‌ای در خاکریزها باعث کاهش تنش‌های متوسط موثر می‌شود. این در حالی است که تنش‌های عمودی ناشی از وزن خاک لایه‌های بالایی ممکن است ثابت بماند و یا افزایش یابد. تحت اینگونه بارگذاری، ماسه‌های شل و خیلی شل معمولاً کاهش حجم زیادی دارند و در شرایط اشباع، این کاهش حجم منجر به افزایش فشار آب حفره‌ای و سپس گسیختگی توده خاک تحت شرایط زهکشی ضعیف می‌شود. در این مقاله، ناپایداری شیب‌های ماسه‌ای غیر متراکم در اثر بالا آمدن سطح آب و افزایش فشار حفره‌ای، با استفاده از یک مدل آزمایشگاهی بررسی شده است. نتایج آزمایشها نشان داد که در حالیکه دانسیته اولیه، عامل اصلی کنترل کننده گسیختگی است، عوامل دیگری نیز مانند نحوه ورود آب به خاکریز و توزیع فشار آب حفره‌ای بر نحوه گسیختگی موثرند.

کلمات کلیدی

روانگرایی استاتیکی، ریزش شیب، فشار آب حفره‌ای، گسیختگی خاکریز، ناپایداری شیب

* نویسنده مسئول و عهده دار مکاتبات Email: rezaimam@gmail.com

۱- مقدمه

روانگرایی یکی از پدیده های مهم در مهندسی ژئوتکنیک است که برای توصیف چند حالت مختلف ایجاد شده در خاکهای ماسه ای بکار برده شده است. افزایش فشار آب حفره ای عامل بسیاری از گسیختگی های ناشی از روانگرایی استاتیکی در شیب-ها شناخته شده است. این افزایش باعث کاهش تنفس های موثر همه جانبه در خاک می شود و این در حالیست که بارهای قائم ناشی از نیروهای گرانشی سربار ممکن است تقریباً ثابت باقی مانده و یا در اثر مرطوب شدن خاک لایه های بالای افزایش - یابد. نتیجه این امر اعمال مسیر تنشی بر خاک خواهد بود که در آن تنش برشی تقریباً ثابت مانده و یا افزایش می یابد، ولی تنش موثر متوسط بتدریج کم می شود [۴].

مطالعات گذشته نشان داده است که خاک های دانه ای با تراکم خیلی کم کاهش حجم قابل توجهی تحت این مسیر تنش از خود نشان می دهند و این رفتار در خاک های اشبع می تواند سبب ایجاد فشار آب منفذی اضافی قابل توجه و در نتیجه ناپایداری و ریزش آنها شود [۵]. نشانه های زیادی از اینگونه ناپایداری ها در عمل دیده شده ولی مطالعات انجام شده در این زمینه فقط در سال های اخیر و بطور متفرقه بوده و بررسی کافی این رفتار با استفاده از مدل های آزمایشگاهی بگونه ایکه امکان پیش بینی اینگونه لغزش ها را بوجود آورد انجام نشده است.

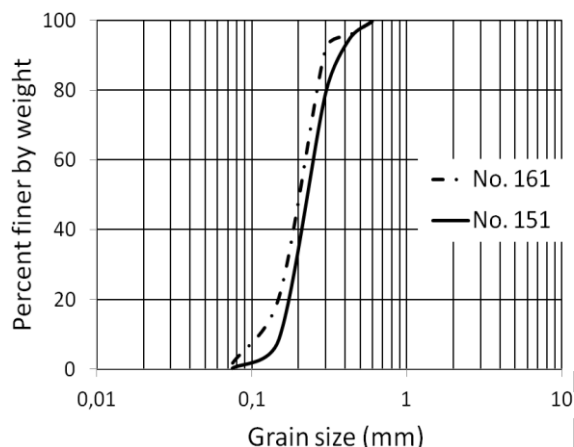
در این تحقیق پدیده گفته شده با استفاده از مدل آزمایشگاهی مورد مطالعه قرار گرفته است. مصالح مورد استفاده در این تحقیق ماسه ریزدانه فیروزکوه است و آزمایش ها بر روی دو نمونه از این ماسه با دانه بندی متفاوت انجام شده است. مصالح به روش تراکم مرطوب در تانک آزمایش قرار داده شد بگونه ایکه پس از قرار گیری در تانک به دانسیته پایین (نسبت تخلخل بالا) برسد. آزمایش های انجام شده نشان داد که بالا آمدن سطح آب باعث ناپایداری و گسیختگی شیب ساخته شده از ماسه غیر مترکم می شود بگونه ایکه پس از گسیختگی، شیب نهایی بسیار ملایم تر از شیب اولیه است. آزمایش ها همچنین نشان داد که تراکم مصالح تشکیل دهنده شیب بر میزان پتانسیل ناپایداری آن در اثر بالا رفتن سطح آب اثر زیادی دارد.

۲- مصالح مورد استفاده

آزمایش ها بر روی ماسه محلی فیروزکوه به شماره های ۱۶۱ و ۱۵۱ انجام شده است. مشخصات این ماسه ها در جدول (۱) ذکر شده و منحنی دانه بندی آنها در شکل (۱) نشان داده شده است.

جدول (۱): مشخصات ماسه فیروزکوه و خاکریزهای ساخته شده در آزمایش های اول و دوم

	D_{50}	G_s	e_{min}	e_{max}	مصالح مورد استفاده
۰/۷۸	۰/۲۵	۲/۶۵	۰/۵۵	۰/۸۷	کد ۱۵۱ فیروزکوه
۰/۷۸	۰/۲	۲/۶۵	-	-	کد ۱۶۱ فیروزکوه



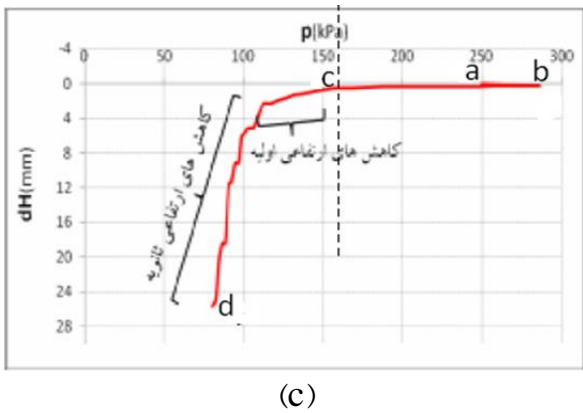
شکل (۱): منحنی دانه بندی ماسه فیروزکوه (شماره ۱۶۱ و ۱۵۱)

ماسه شکسته فیروزکوه، ماسه ای سیلیسی با دانه بندی یکنواخت می باشد [۱]. خاکریزهای آزمایش شده به روش تراکم مرطوب با ۲/۵ درصد رطوبت ساخته شدند. در این روش، پس از افزودن رطوبت موردنظر، خاک در لایه های افقی با ضخامت ثابت ریخته شده و با یک تخته مسطح اندکی فشرده شدند تا تراکم (نسبت تخلخل) موردنظر بدست آید.

۳- رفتار ماسه فیروزکوه در آزمایش بارگذاری با تنش تفاضلی ثابت

با توجه به آنکه بالا آمدن سطح آب باعث می شود که ماسه تحت مسیر تنشی شبیه به بارگذاری با تنش تفاضلی ثابت قرار گیرد، در اینجا رفتار ماسه فیروزکوه تحت این مسیر تنش با استفاده از نتایج آزمایشگاهی مطالعه می شود.

نمونه ای از نتایج حاصل از یک آزمایش با تنش تفاضلی ثابت بر روی ماسه فیروزکوه (شماره ۱۵۱) در شکل (۲) نشان داده



شکل (۲): (a) مسیر تنش تفاضلی ثابت، (b) تغییرات نسبت تخلخل با تنش موثر متوسط، (c) تغییرات ارتفاع نمونه با تنش موثر متوسط [۵]

۴- آزمایش‌های انجام شده بر روی مدل خاکریز

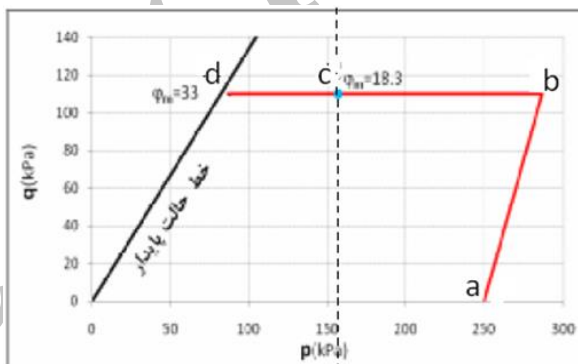
در این تحقیق تعداد ۴ آزمایش بر روی مدل‌های خاکریز ساخته شده در تانک آزمایش انجام شد. برای ساخت هر مدل، خاکریزی در شش لایه انجام شد به طوری که پس از اتمام ساخت خاکریز، شیب آن به ۴۴ درجه در پایین دست رسید. همچنین درصد رطوبت اضافه شده به ماسه در این آزمایش‌ها ۰/۲۵ بوده است. پس از خاکریزی در هر لایه، در آزمایش‌های اول و دوم، با استفاده از یک قطعه مسطح چوب به ضخامت حدود ۴ سانتی‌متر و به شکل مستطیل به ابعاد ۲۵ در ۱۵ سانتی‌متر، لایه مورد نظر تحت فشار قرار گرفت. برای آنکه میزان تخلخل خاکریز در نقاط مختلف تقریباً یکسان باقی بماند، لایه‌های زیرین کمتر، و لایه‌های بالایی بتدريج بيشتر شدند تا اثر تجمعی تراکم لایه‌های بالاتر باعث تراکم بيشتر لایه‌های زیرین نشود.

بعد از هر مرحله خاکریزی، بر روی لایه ساخته شده شیارهایی ایجاد شد تا با لایه جدید به اندازه کافی اتصال داشته باشد.

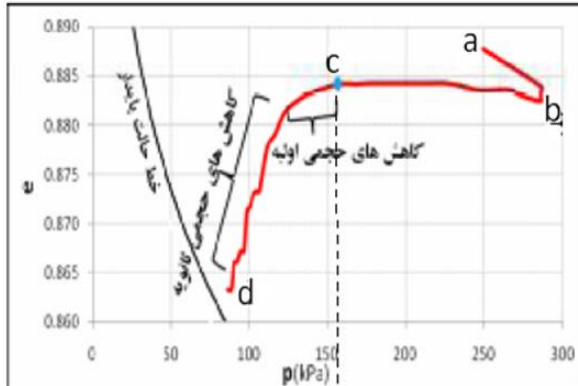
نمای نهایی و ابعاد خاکریز (برای آزمایش‌های اول و دوم) در شکل (۳) نشان داده شده است. همان‌طور که دیده می‌شود عرض خاکریز در تاج آن برابر با ۵۵ سانتی‌متر است. آزمایش‌های اول و دوم در تانک آزمایشی با عرض ۵۰ سانتی‌متر و آزمایش‌های سوم و چهارم در تانک آزمایشی با عرض ۷۵ سانتی‌متر انجام شد. نمای خاکریز برای آزمایش‌های سوم و چهارم در شکل (۴) نشان داده شده و برای این آزمایش‌ها عرض تاج ۵۰ سانتی‌متر درنظر گرفته شد.

نسبت تخلخل خاکریزها از روش برگشتی محاسبه شده و

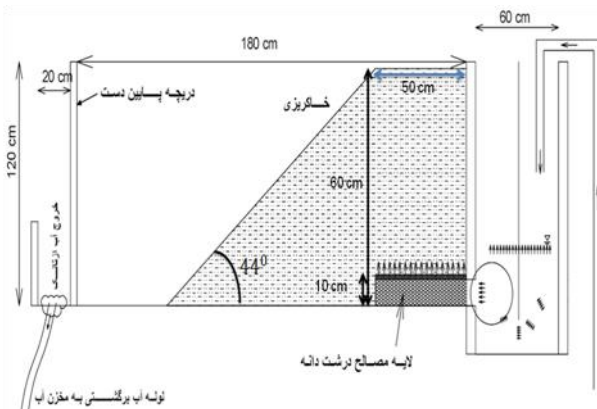
شده است [۶]. در این آزمایش که در آن نمونه به روش تراکم مرطوب تهیه شده و دارای دانسیته نسبی برابر ۰/۵٪ است، پس از تحکیم نمونه تا تنش ۲۵۰ کیلوپاسکال (نقطه a) تنش انحرافی اعمال شده است (a به b). سپس با کاهش فشار همه جانبی در حالی که تنش تفاضلی ثابت بود، بارگذاری در مسیر c تا b ادامه داشت. در طی این مسیر انبساط حجمی کمی در نمونه دیده شد (مسیر b تا c در شکل ۲- (b)). با رسیدن به سطح تنش معینی (نقطه c)، کاهش حجم نمونه به میزان قابل توجهی آغاز شد و این کاهش حجم تا نقطه d که نمونه به شرایط پایدار رسید ادامه یافت. همانطور که در شکل ۲- (b) دیده می‌شود این مصالح بارگذاری در آزمایش با تنش تفاضلی ثابت، کاهش حجم قابل توجهی از خود نشان داده و بنابراین پتانسیل زیادی برای بوجود آوردن فشار آب منفذی اضافی، و بنابراین ناپایداری ناشی از آن از خود نشان داده است.



(a)



(b)



شکل (۴): نمای نهایی و ابعاد خاکریز با شیب ۴۴ درجه در آزمایشهای سوم و چهارم

۵- آزمایش اول بر روی ماسه شماره ۱۵۱ فیروزکوه

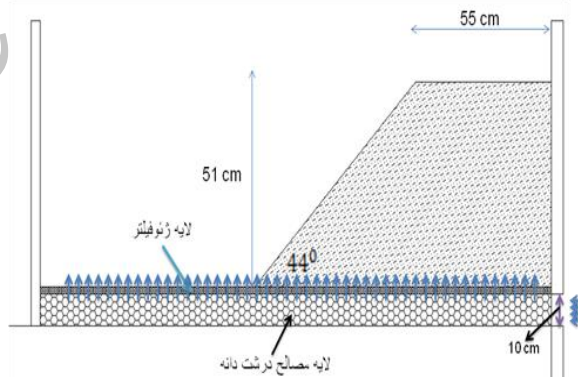
پس از آماده شدن خاکریز، پمپ آب روشن شده و با استفاده از شیر تنظیم آب ورودی، دبی لازم که با استفاده از آزمایشهای قبل برای ایجاد سرعت مناسب بالارفتن آب در تانک مناسب تشخیص داده شده بود درون تانک آزمایش هدایت شد. در ابتدا دیده شد که سطح آب بصورت آرام و یکنواخت از پایین به بالا حرکت می‌نماید. پس از آنکه سطح آب کمی در تانک بالا آمد (حدود ۱۰ سانتی‌متر) تغییر رنگ آب و کدر شدن آن در ناحیه جلو شیب دیده شد. هنگامی که تراز آب به حدود ۲۰ سانتی‌متر بالاتر از تراز پارچه‌گونه (لایه ژئوفیلتر، شکل ۲ رسید، نشست تاج خاکریز به مقدار حدود یک سانتی‌متر رسیده بود. این نشست از ابتدای بالا آمدن سطح آب آغاز شده بود.

همزمان با بالا رفتن سطح آب، ناحیه غرقاب شده به شیب کمتری رسیده و در این حال نشست تاج خاکریز بتدریج افزوده می‌شد. زمانیکه تراز آب به حدود ۴۵ سانتی‌متر بالای تراز پارچه‌گونه رسید، گسیختگی واژگونی در خاک ناحیه بالای سطح آب رخ داد و این گسیختگی که ابتدا از محل شیب بالای بتدریج بسمت عقب گسترش یافته و در نواحی دیگر خاک بالای سطح آب ادامه یافت تا اینکه همه بخش‌های خاک که بالای سطح آب بود بکلی گسیخته شد. گفتنی است که نشست تاج خاکریز زمانی که آب به تراز ۴۱ سانتی‌متر بالای تراز پارچه گونه رسیده بود در حدود ۳ سانتی‌متر اندازه گیری شد. در حالت کلی گسیختگی‌های دیده شده ترکیبی از گسیختگی صفحه‌ای و واژگونی بودند. در آزمایشی که پس از اتمام آزمایش گفته شده (مرحله اول) برای بررسی اثر سرعت بالا آمدن آب انجام شد (مرحله دوم آزمایش اول)، دیده شد که چنانچه سرعت بالا آمدن آب بیشتر باشد (۱۰۰ میلی‌متر در دقیقه) که حدود

در ساخت مدل خاکریز از تجربیات اکرسلی که آزمایش‌هایی را بر روی نمونه‌های ذغال سنگ برای بررسی گسیختگی شیب‌ها انجام داد استفاده شد [۷].

همانگونه که از مقایسه شکل‌های (۳) و (۴) می‌توان دید، در آزمایش‌های اول و دوم، تمام سطح کف تانک پوشیده از مصالح درشت دانه با نفوذپذیری زیاد بوده و با ورود آب از مخزن خارجی آب به درون مصالح درشت دانه، تراز آب در تمام نقاط کف تانک بطور هم زمان بالا آورده شد. بدین ترتیب در حالی که تراز آب در درون خاکریز بالا می‌رفت، در جلو شیب خاکریز نیز تراز آب بالا رفته و فشار هیدرولوستاتیکی بر جلو شیب اعمال می‌نمود. لیکن در آزمایش‌های سوم و چهارم، مصالح درشت دانه فقط در بخش محدودی از کف تانک بطول ۵۰ سانتی‌متر قرار داده شد (شکل ۴) به گونه‌ای که سطح آب فقط درون خاکریز بالا رفته و در جلو شیب فشار هیدرولوستاتیکی اعمال نمی‌شد.

در اینجا جزئیات آزمایش و مشاهدات انجام شده برای آزمایش‌های ۱، ۲ و ۴ آورده شده است. در آزمایش ۳ برای جلوگیری از بالا آمدن آب از بخشی از کف تانک، از پوشش پلاستیکی در اطراف مصالح درشت دانه استفاده شد و این امر باعث لغزش این مصالح و ایجاد خطا در آزمایش شد. بنابراین جزئیات این آزمایش در اینجا نیامده است.



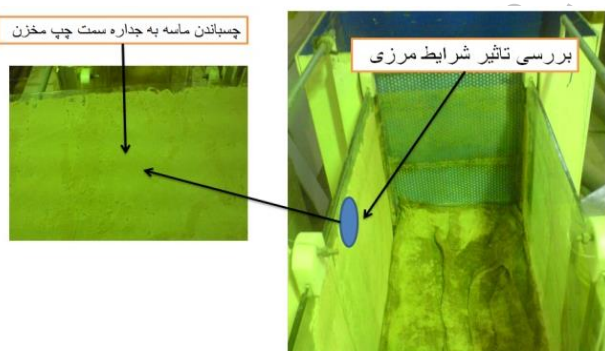
شکل (۳): نمای نهایی و ابعاد خاکریز با شیب ۴۴ درجه در آزمایش‌های اول و دوم

درجه کاهش یافت. شیب پایداری مصالح در حالت خشک برابر ۳۴ درجه است.

۶- آزمایش دوم بر روی ماسه شماره ۱۶۱ فیروزکوه

در ادامه تحقیقات، آزمایش دیگری انجام شد که هدف آن بررسی اثر بندی و شرایط مرزی بر ناپایداری ماسه فیروزکوه در اثر بالا رفتن سطح آب بود. این آزمایش بر روی ماسه کد ۱۶۱ فیروزکوه که دارای بندی ریزتری نسبت به ماسه با کد ۱۵۱ است انجام شد [۷]. در این آزمایش، بندی مصالح و شرایط مرزی آزمایش اندکی نسبت به آزمایش اول تفاوت داشت ولی نحوه خاکریزی مشابه آزمایش اول بوده و در شش لایه انجام شد و ابعاد خاکریزی نیز مانند آزمایش اول بود (شکل ۳).

برای بررسی اثر شرایط مرزی، یک طرف تانک آزمایش به گونه‌ای که در شکل (۷) نشان داده شده است، با ماسه مشابه ماسه‌ای که آزمایش بر روی آن انجام می‌شود پوشانده شد. برای پوشاندن شیشه با ماسه ابتدا یک لایه نازک چسب بر روی شیشه پوشانده شد و ماسه بر روی این لایه ریخته شد به گونه‌ای که پوشش مناسبی از ماسه حاصل شد. برای جلوگیری از ایجاد زبری ماندگار در جداره اصلی مخزن، موارد گفته شده بر روی یک لایه جدید از شیشه انجام شد تا پس از پایان آزمایش امکان جدا کردن آن از جداره اصلی وجود داشته باشد.

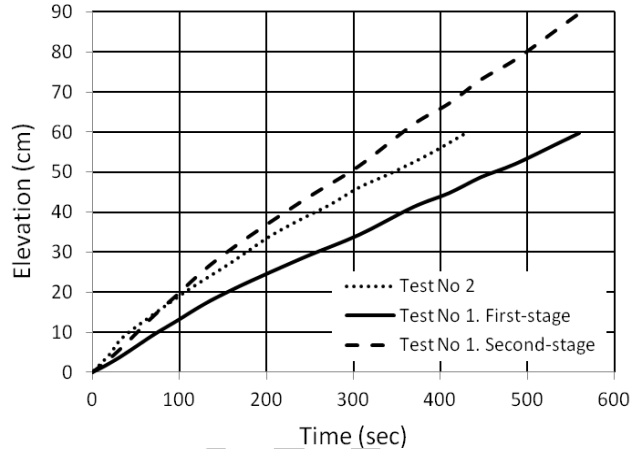


شکل (۷): تغییر شرایط مرزی

مشابه آزمایش قبل، برای ساخت نمونه، خاکریزی در شش لایه انجام شد به گونه‌ای که پس از اتمام خاکریزی شیب آن به ۴۴ درجه رسید. همچنین درصد رطوبت اضافه شده به ماسه در این آزمایش نیز ۲/۵٪ بوده است. پس از انجام خاکریزی با توجه به وزن مخصوص مصالح مورد استفاده و حجم خاکریز ساخته شده، نسبت تخلخل متوسط خاک برابر با $eav = 0/76$ براورد شد.

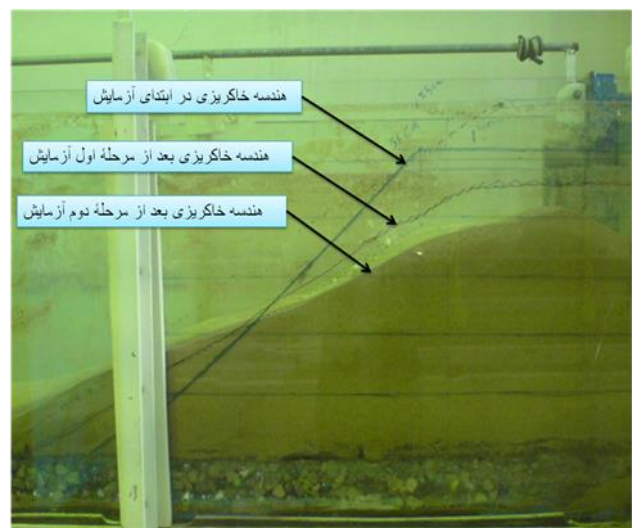
پس از آماده شدن خاکریز، پمپ آب روشن شده و با استفاده

۵۰٪ از مرحله اول بیشتر است) خاکریز پس از گسیختگی به شیب ملایمتری می‌رسد. تغییرات سطح آب داخل مخزن با زمان در مرحله اول و دوم آزمایش اول در شکل (۵) نشان داده شده است.



شکل (۵): تغییرات سطح آب داخل مخزن با زمان در مرحله اول و دوم آزمایش اول و آزمایش دوم

مدت زمان بالا آمدن آب در تانک پیش از ساختن نمونه برابر ۱۰ دقیقه بود. پس از ساخت نمونه زمان بالا آمدن آب به حدود ۹ دقیقه کاهش یافت که یکی از دلایل آن وجود حجم ماسه بود که بخشی از فضای تانک را پر می‌نمود. شکل (۶) هندسه خاکریزی را قبل از آزمایش و پس از اتمام آزمایش‌های مراحل اول و دوم نشان می‌دهند.



شکل (۶): شیب پایین دست در انتهای مراحل اول و دوم آزمایش اول

همان طور که دیده می‌شود، شیب خاکریز که در ابتدای ۴۴ درجه بود، پس از بالا آمدن سطح آب در مرحله اول و گسیختگی خاکریز، به حدود ۳۱ درجه رسید، که در مرحله دوم به ۲۳

جدول (۲): میزان نشت در طول آزمایش

زمان از شروع آزمایش (ثانیه)	نیشت تاج خاکریز (سانتی متر)	ارتفاع آب از کف مخزن (سانتی متر)
۰	۰	۰
۱۳۳	۰/۶	۲۰
۲۰۲	۱/۲۵	۳۰
۲۶۷	۱/۷۵	۴۰
۳۴۱	۲/۲	۵۰
۴۲۰	۲/۵	۶۰

از شیر تنظیم آب ورودی، دبی لازم که با استفاده از آزمایش های قبل برای ایجاد سرعت مناسب بالارفتن آب در تانک مناسب تشخیص داده شده بود به درون تانک آزمایش هدایت شد. در ابتدا دیده شد که سطح آب بصورت آرام و یکنواخت از پایین به بالا حرکت می نماید، پس از آن تغییر رنگ آب وکدر شدن آن در ناحیه جلو شیب دیده شد. در مراحل اولیه بالا آمدن سطح آب، از بخش پایینی شیب پایین دست خاکریز (حدودا در پای شیب) خروج آب و پدیده جوشش دیده شد (شکل ۸).

۷- آزمایش چهارم بر روی ماسه ۱۵۱ فیروزکوه

در آزمایش چهارم که روی ماسه فیروزکوه با شماره کد ۱۵۱ انجام شد میزان تراکم خاکریز، مشخصات هندسی آن و نحوه ورود آب به داخل مصالح نسبت به آزمایش های اول و دوم متفاوت بود [۳]. در این آزمایش سطح آب فقط درون خاکریز بالا آورده شد و فشار هیدرولوستاتیکی در جلوی خاکریز که در آزمایش های اول و دوم وجود داشت، حذف شد. خاکریزی مشابه آزمایش های قبیل در شش لایه انجام شد با این تفاوت که تراکم بر روی خاک انجام نشد و بنابراین خاکریز ساخته شده به نسبت تخلخل بیش تری رسید.

نمای نهایی و ابعاد خاکریز ساخته شده در این آزمایش در شکل (۴) نشان داده شده و ویژگی های مهم آزمایش در جدول (۳) آورده شده است. نسبت تخلخل خاکریز از روش برگشتی محاسبه شد.

جدول (۳): مشخصات خاکریز ساخته شده در آزمایش های سوم و چهارم

وزن مصالح بکار رفته (کیلوگرم)	نسبت مصالح خاکریز	مصالح مورد استفاده	استفاده	D_{50}	G_s	ϵ_{min}	ϵ_{max}	کد	نیشت تاج خاکریز (سانتی متر)
۴۴۱	۰/۹۸	۰/۸۷	۰/۵۵	۰/۲۵	۲/۶۵	۰/۵۵	۰/۲۵	۱۵۱	فیروزکوه

پس از آماده شدن خاکریز، پمپ آب روشن شده و دبی لازم که با استفاده از آزمایش های قبل برای ایجاد سرعت مناسب بالارفتن آب در تانک تعیین شده بود به درون تانک آزمایش هدایت شد. در ۵ دقیقه اول، خاکریز نشت نموده و در قسمت اشباع شده کاهش حجم می داد، اما هیچ گونه گسیختگی در خاکریز دیده نشد. لیکن در دقیقه پنجم، خاکریز بصورت ناگهانی گسیخته شده و از شیب ۴۴ درجه به شیب ۲۵ درجه رسید



شکل (۸): جوشش در پایین دست خاکریز

مانند آزمایش اول، در این آزمایش نیز همزمان با بالا رفتن سطح آب، ناحیه غرقاب شده به شیب کمتری می رسد و در این حال حجم خاک کاهش می یافتد که گونه ای که نیشت تاج خاکریز بتدریج افزایش می یافتد. میزان نشت کلی در فاصله های زمانی مختلف در جدول (۲) آورده شده است. برخلاف آزمایش اول، در این آزمایش گسیختگی های دیده شده فقط بصورت صفحه ای اتفاق افتاد. همان گونه که قبل از گفته شد، یکی از دو دیواره کناری تانک با ماسه پوشانده شده و سطح زبرتری در آن ایجاد شد. مقایسه جابجایی های عمودی ایجاد شده در کنار دو دیواره تانک نشان داد که تفاوت این جابجایی ها کمتر از یک سانتی متر بود و بنابراین اثر تفاوت زبری سطح دیواره های کناری برای عرض تانک مورد آزمایش ناچیز ارزیابی شد. تغییرات سطح آب با زمان در شکل (۵) نشان داده شده است.

پس از بالا آمدن سطح آب و گسیختگی خاکریز، شیب پایداری به حدود ۳۰ درجه رسید.

های دیده شده در اثر بالا آمدن سطح آب نقش داشته باشد که

مهم ترین آنها عبارتند از:

مکانیزم اول: گسیختگی ناشی از کاهش حجم و افزایش فشار آب ناشی از آن و درنتیجه کاهش تنفس موثر و مقاومت بر Shi.

مکانیزم دوم: گسیختگی ناشی از اشباع شدن ماسه و کاهش مکش در ماسه غیر اشباع و درنتیجه کاهش مقاومت بر Shi آن.

مکانیزم سوم: گسیختگی ناشی از اعمال نیروی زه در جهت ایجاد ناپایداری بیشتر در Shi.

با توجه به مشاهدات انجام شده در آزمایش‌های گفته شده در

این تحقیق، می‌توان نتایج زیر را بطور خلاصه بیان نمود:

- بطور کلی در خاکریزهای ساخته شده از ماسه‌های شل و غیر اشباع که تحت زاویه ای بیش از زاویه قرارگیری مصالح ساخته شده‌اند، در اثر بالا آمدن سطح آب ناپایداری بوجود می‌آید.

- در آزمایش‌های اول و دوم که خاک دارای تراکم بیشتری بوده و فشار هیدرولاستاتیکی در جلو شیب وجود داشت، با توجه به آنکه ماسه فیروزکوه با تراکم نسبی حدود صفر درصد، در آزمایش‌های تنفس تفاضلی ثابت، کاهش حجم چندانی از خود نشان نمیدهد [۱] امکان پدید آمدن مکانیزم اول وجود نداشته و به نظر می‌رسد که مکانیزم اصلی کنترل کننده گسیختگی، کاهش مقاومت خاک در اثر اشباع شدن و حذف مقاومت ناشی از مکش و کشش سطحی ذرات خاک غیر اشباع باشد (مکانیزم دوم). گفتنی است که شیب نهایی خاکریز پس از گسیختگی در این آزمایش‌ها نزدیک به زاویه قرارگیری مصالح بوده و این موضوع نیز می‌تواند نشانه‌ای از کاهش مقاومت بر Shi خاک و رسیدن زاویه آن به مقداری متناظر با زاویه اصطکاک داخلی خاک در حالت اشباع یا خشک باشد. آزمایش‌های انجام شده بر روی ماسه فیروزکوه نشان داد که زاویه قرارگیری این خاک در حالت خشک و اشباع بهم نزدیک است.

گرچه در آزمایش‌های اول و دوم آب بطور یکنواخت بالا آمده و درنتیجه نیروی زه در جهت افقی بطرف پای شیب بوجود نمی‌آید ولی با افزایش سرعت بالا آمدن سطح آب، حرکت آب در جهت ایجاد نیروی برکنش بیشتر صورت گرفته و شیب نهایی خاکریز ملایم تر می‌شود. بنابراین در اینجا مکانیزم سوم نیز می‌تواند نقش ثانوی در ناپایداری داشته باشد و باعث تفاوت نتایج حاصل از حالت‌های اول و دوم در آزمایش اول باشد.

مقایسه نتایج آزمایش‌های اول و دوم نیز نشان داد که ماسه درشت تر ۱۵۱، حتی در دانسیته نسبی یکسان با ماسه ۱۶۱ کاهش حجم و نشست بیشتری داشته و گسیختگی آن نیز با تخریب بیشتر و از نوع واژگونی همراه است.

(شکل ۹).

در انجام این آزمایش، برای کاهش اثر احتمالی نیروی زه بر ایجاد گسیختگی، سرعت بالا آوردن آب به حداقل مقدار ممکن با توجه به مشخصات پمپ مورد استفاده انتخاب شد و همانگونه که در شکل (۹) دیده می‌شود، در زمان گسیختگی خاکریز در دقیقه پنجم از شروع ورود آب، سطح آب هنوز در درون خاکریز بوده و از سطح خاک بالاتر نرفته بود (خاک غرقاب نشده بود).



شکل (۹): گسیختگی ناگهانی خاکریز

در ادامه بالا آمدن سطح آب، خاکریز دچار گسیختگی دیگری شده و به شیب ملایم تری رسید و در پایان پس از سرریز آب از روی خاکریز، شیب آن به ۱۳ درجه رسید. نمای نهایی خاکریز پس از گسیختگی و غرقاب شدن در شکل (۱۰) نشان داده شده است.



شکل (۱۰): نمای نهایی خاکریز با شیب ۱۳ درجه

۸- بحث و نتیجه گیری

مکانیزم‌های مختلفی می‌تواند در ایجاد ناپایداری و گسیختگی

معصومی فرد، وحید، ”طراحی و ساخت مدل آزمایشگاهی برای بررسی ناپایداری شبی در اثر بالا آمدن سطح آب“، پایان نامه کارشناسی ارشد، دانشگاه صنعتی امیرکبیر، ۱۳۹۰.

Anderson, S. A. and Riemer, M. F., "Collapse of Saturated Soil Due to Reduction in Confinement", Journal of Geotechnical Engineering, ASCE, 121(2): 216-219, 1995.

Skopek, P. 1993. , "Collapse of dry sand", Canadian Geotechnical Journal 31, 1008-1014, 1994.

Azizi, A. and Imam, S. M. R. , "Behavior of sands in constant deviatoric stress loading in Prediction and Simulation Methods for Geohazard Mitigation", ed. Oka and Kimoto. Published by Taylor and Francis Group. ISBN 978-0-415-80482-0, 2008.

Eckersley, J. D. , "Instrumented laboratory flow slides", Geotechnique 40, No. 3, 489-502, 1990.

- [۳] در آزمایش چهارم که نسبت تخلخل بیشتر بوده و فشار هیدرواستاتیکی در جلو خاکریز وجود نداشت، کاهش حجم ماسه و افزایش فشار آب حفره‌ای ناشی از آن، آن گونه که در آزمایش‌های سه محوری با تنفس انحرافی ثابت دیده شد می‌تواند ععنوان عامل اصلی گسیختگی مد نظر باشد (مکانیزم اول). گفتنی است که با توجه به جهت ورود آب به تانک و حرکت آن در درون خاکریز، نیروی زه نیز می‌تواند نقشی در ناپایدارسازی شبی داشته باشد. لیکن با توجه به نشست قابل توجه تاج خاکریز و کاهش حجم زیاد در خاک خیلی شل تشکیل دهنده آن (که دارای دانسیته نسبی حدود ۳۰٪- بوده است) عامل اصلی گسیختگی را می‌توان مکانیزم اول دانست. آزمایش‌های بعدی انجام شده که در آنها ابزارگذاری همراه با اندازه گیری فشار آب در ضمن گسیختگی انجام شد [۲] نشان داد که در زمان گسیختگی خاکریزهایی با این نسبت تخلخل، افزایش قابل توجهی در فشار آب منفذی ایجاد می‌شود که این امر نشانه‌ای از وقوع مکانیزم اول است.
- [۴]
- [۵]
- [۶]

- [۷] در هر حال برای تعیین دقیق تر مکانیزم اصلی کنترل کننده گسیختگی در هر یک از حالات، استفاده از ابزارگذاری مناسب و اندازه گیری فشار آب حفره‌ای در زمان حرکت ماسه و بررسی تغییرات فشار آب حفره‌ای در هنگام گسیختگی و هم چنین انجام تحلیل‌های مناسب می‌توانند کمک شایانی بنمایند و این موضوعات در تحقیقات بعدی مدنظر قرار گرفته است.

۹- تشکر و تقدیر

تحقیق حاضر در قالب طرح پژوهشی شماره ۸۶۱۰۴/۵۲ صندوق حمایت از پژوهشگران کشور انجام شده است. مولفین مراتب قدردانی خود را از حمایت صندوق مذکور اعلام میدارند.

۱۰- مراجع

- [۱] عزیزی، آرش، ”مطالعه آزمایشگاهی و مدلسازی رفتار خاک‌های دانه‌ای تحت بارگذاری با تنفس تفاضلی ثابت“، پایان نامه کارشناسی ارشد، دانشگاه صنعتی امیرکبیر، ۱۳۸۸.

- [۲] خجسته رحیمی، امیر، ”ابزارگذاری و آزمایش ناپایداری شبی‌های ماسه‌ای غیر متراکم در اثر بالا آمدن سطح آب“، پایان نامه کارشناسی ارشد، دانشگاه صنعتی امیرکبیر، ۱۳۹۰.